А. С. МКРТЧЯН

ИССЛЕДОВАННЕ ВЛИЯННЯ ФОРМЫ ШВА И ДЕФОРМАТИВНОЙ НЕОДНОРОДНОСТИ СВАРНЫХ СТЫКОВЫХ СОЕДИНЕНИЙ НА МЕХАНИЧЕСКУЮ ДОЛГОВЕЧНОСТЬ

На долгонечность сварных соединений влияет ряд факторов, в том числе и механические характеристики основного и присадочного материалон. Результаты исследований некоторых авторов не позволяют еделать утвердительного заключения об отрицательном влиянии увеличения предела прочности напланленного металла на усталостную прочность свирного образуя. Авторы работы [1] трудность исследования объясияют многочисленностью факторов, влинощих на усталостную прочность сваримх соединений. Отмечается, что продольная деформация шва и околошовного зоны значительно меньше, чем вдали от шва. Большие экспериментальные работы по проверке долговечности механически обрабатываемых сварных срединений были выполнены автором [2]. Как объясняет автор, предел ограниченной усталости удается повысить за счет плавного перехода от наплавленного металла к основному металлу и за счет подбора механических характеристик материала. При одинаковых механических характеристиках наплавленного и основного металлов важным фактором, определяющим механическую долговечность соединения, является распределение местных напряжений в окрестности стыка растягиваемого сварного образиа.

Теоретическими исследованиями характера папряженного состояния в окрестности края поверхности соединения произвольно нагруженного составного тела установлено, что незначительные изменения геометрии соединения в зависимости от разности упруго-деформативных свойств соединениях материалов могут концептрационное напряженное состояние окрестности края привести к малонапряженному и наоборот [3]. Следовательно, для соединяемых материалов с данными упругими постоянными можно определить рациональную форму соединения и получить для эзим стыка большую механическую выносливость, чем для однородных частей влемента конструкций, работающих при переменном нагружении.

В настоящей статье определяется теоретическое мамение предельного угла и плияние формы разделки стыкового сварного соединения на механическую долговечность в зависимости от деформативной неоднородности новы шпа. В общем случае нагружения составного тела предельное для
малонапряженности края поверхности контакта сочетание значения углов
между плоскими элементами поверхности контакта в окрестности ее края
и внешней поверхности соединения определяются соотношением;

$$[(1+\mu)\sin(2+3) + (1-\mu)\sin(2+3)] \{ \mu m | m | (2+\mu)\cos(2+3) - \sin(2+3) \} \sin(2+\mu) + \mu m_1 [\mu m_2 - m_1 - (\mu-1)\sin^2 \beta] \{ 2\cos 2 - \sin 2 \} \sin(2+\mu) + \mu m_2 [\mu m_2 - m_1 - (\mu-1)\sin 2] \{ \mu\cos 2 - \sin 2 \} \sin \beta \} = 0$$
 (1.1)

где $u=\frac{G_1}{G_n}$ отношение модулей сдвигов, v_i и v_i — коэффициенты Пуассона, а m_i и m_i — коэффициенты поперечных деформации соединенных материалов. Угол α стносится к материалу с модулем сдвига G_i и коэффициентом Пуассона v_i , а β — ко второму. Задаваясь значением одного угла или соотношением между двумя углами α и β , определяем предельное значение второго угла или обоих углов, когда задано одно соотношение между инми.

Только сочетание наименьших значении (отличных от нуля) углов имеет непосредственный смысл для продельного состояния края поверхности контакта.

Для механически обработанного (гладкого) края поверхности контакта, когда $\alpha + \beta = \pi$, соотношение (1.1) упрощается, что позволяет определение предельного значения угла для двух материалов с заданными упругими постоянными произвести с помощью небольшого объема вычислений. Соотношение (1.1) для гладкого края принимает следующий вид

$$[\mu m_1 - m_1 - (\mu - 1) \sin^2 x] [(\mu m_2 - m_1) (z \cos x - \sin x) + m_1 \pi \cos x] \sin 2x = 0$$
 (1.2)

Примем, что $\mu = \frac{G_1}{G_2} < 1$, то есть модуль сдвига G_1 материала, к которому относится угол α , меньше, чем модуль сдвига G_2 второго материала. Тогда, наименьшее значение угла α ", удовлетворяющее уравнению (1.2), является предельным, то есть край поверхности контакта будет малона-пряженным, если α будет $< \alpha^4$.

Отыскание наименьшего положительного значения корня уравления (1.2) можно провести, приравнивая к нулю каждый из сомножителей (1.2)

1.
$$\sin^2 z = \frac{m_1 - \mu m_2}{1 - \mu}$$
 $z^2 = \arcsin 1 = \frac{m_2 - \mu m_2}{1 - \mu}$ (1.3)

если

$$p < \frac{1-\nu_1}{1-\nu_2} \quad \text{if} \quad p < \frac{\nu_1}{\nu_2}$$

2.
$$tg \, e^* - \alpha^* = \frac{\pi \, (1 - \nu_1)}{1 \cdot m_2 - m_1} \quad \text{если} \quad \mu > \frac{1 - \nu_1}{1 - \nu_2}$$
 (1.4)

В случае $\frac{1}{\nu_2} < \frac{1-\nu_1}{1-\nu_2}$ и $\frac{\nu_1}{\nu_2} < \nu < \frac{1-\nu_1}{1-\nu_2}$, используя уравнение $\sin 2\pi = 0$, находим, что значение предельного угла не записит от упругих постоянных материалов и равно $\frac{\pi}{2}$

Таким образом, для всего интервала изменения μ и произвольных коэффициентов Пуассона v₁ и v₂, которые исчерпывают все возможные сочетания материалов. для гладкого края при помощи элементарных пычислений может быть установлено предельное (верхиее) значение угла α, относящегося к материалу с меньшим модулем упругости

Как правило, материал шва в сварном соединении имеет выраженную неоднородность как по химическому составу, так и по механическим свойствам, включая и деформативные. Механическая неоднородность шва обусловлена как химической, так и структурной неоднородностью.

Поверхность сплавления янляется контактной поверхностью между материалом шва и основным свариваемым материалом. Тепловые воздействия во время сварки могут существенно изменить прочностные свойства и почти не влияют на деформативные свойства материала околошовной зоны. Зная деформативные свойства материала шва и основного материала, углы разделки стыкового сварного шва могут быть рассчитаны так, чтобы по всему краю поверхности сплавления выполнялись условия малонапряженности. В этом случае обеспечивается высокая вибропрочность сварного стыкового соединения с механической обработкой шва,

Для испытаний заданной марки стали выбрана «Сталь-20» одной плавки (контроль—химическим анализом). Сваривание образцов осуществлялось универсальным электролом марки «АНО-6», тип Э42-т с ильменитовым покрытием.

Для определения упругих постоянных сплавленного металла из трех неиспытанных сварных стыковых образцов в зоне шва вырезано по 6 прямоугольных микрообразцов размером $3\times5\times40$ мм. Среднее значение модуля упругости сплавленного металла $E_{\rm c}=1.8\times10^6~{\rm Ke/cm^2}$, коэффициент Пуассона $v_{\rm c}=0.29$,

Для определения упругих постоянных основного металла от листов выреданы вдоль проката 3 образна (для испытании на растяжение). Среднее значение модуля упругости $E_* = 2.12 \times 10^6~\kappa r/cm^2$, коэффициент Пуассена $v_* = 0.32$.

Модуль сдвига наплавленного металла

$$G_{i} = \frac{E}{2(1-r_{1})} = 0.717 \times 10^{6} \, \text{keVe.}$$

модуль сдвига основного металла

$$G_{\rm s} = \frac{E_{\rm s}}{2(1 + 1)} = 0.803 \times 10^{3} \text{ kilcs}$$

Отношение модулей сдвига р $\frac{G_1}{G_2}=0.893$, то есть модуль сдвига G_1 наплавленного металла, к которому относится угол α , меньше, чем модуль сдвига G_2 основного металла, а отношение коэффициентов Пуассона $\frac{1}{G_2}=0.906$.

$$\mu < \frac{1}{\nu_0}$$
 и $\mu < \frac{1}{1 - \nu_0} - 1.04$

Подставляя спачения $m_1 = 0.775$, $m_2 = 0.757$ и р в формулы (1.3), получаем:

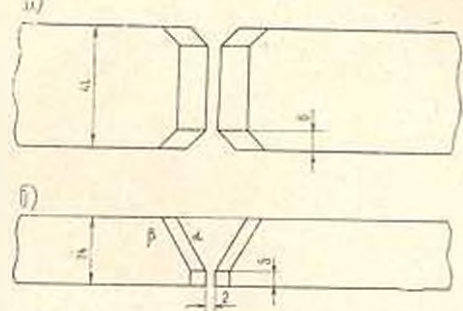
$$\sin^2 x = 0.74$$
 $\alpha = 59^\circ 30^\circ - \alpha^* = 59^\circ 30^\circ$

то есть краи поверхности контакта в этом случае будет малонапряжениым. Сварные образны изготовлялись из частей $(24 \times 110 \times 250)$ мм. отрезанных от одного прокатного листа марки «Сталь-20». Технология наготовления и сваска образцов описаны

автором [4].

На фиг. 1 показана схема разделки кромок. После сварки обработка идости лак изакнооп воньводь получалось два типа соединения: -образный шов со снятой подваркой и V-образный шов с подваркой 2 MM.

Испытание всех образцов осуществлялось с частотой 1000 циклумин на пульсаторе марки ЦДМ ПУ-10. Фис. 1, а — вид сверху, 6 — вид сбоку. Удлинение, происходящее во время



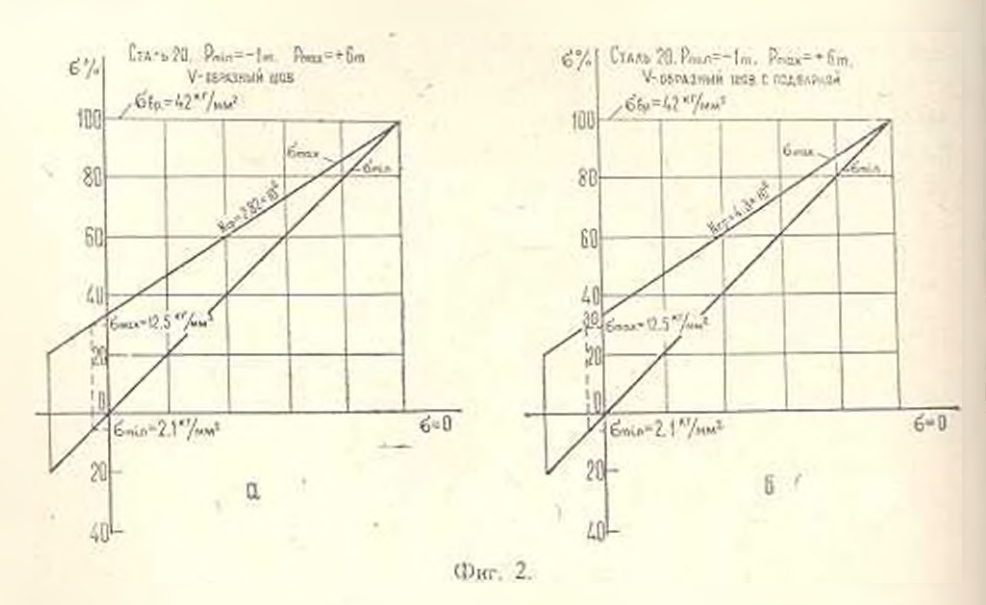
пульсации в стыковом соединении, а также контооль нагружения в течение всего опыта производились измерительным устройством UM-III. Образцы подвергались переменному растяжению и сжатию. Минимальная нагрузка, приложенная на образец.—1 т. максимальная нагрузка — - 6 т. Амплитуда напряжений, приложенных к образцу, равна 14.6 кг ммг. Реаультаты испытаний двух типов образов без подгарки и с подалокой представлены в табл. 1 и 2 (соответственно). Определенные значения дан-

Tabanna 1

	11203				
Nv.Ne n n	Поперечное сече-	Минимальная нагрузка в т	Максимальная пагрузка в т	Число циклов	
1	485	-1	- -6.2	4.3 9 104	
*3	485	—1	+6.2	1.65 × 104	
3	485	- 1	4-6.2	2.0 - 104	
4	482	- 1	- 6.0	2.2 104	
5	482	-1	6.0	1.62 104	
6	482	1	+6.0	3.3 ×10 ⁶	
7	482	1	+6.0	1,41 106	
8	480	-1	ő.0	8.0 ×10°	
9	480	-1	+6.0	1.8 104	
10	480	-1	÷ 6.0	3.4 ×10°	
21	480	-1	÷ 6.0	1.4 ×10°	

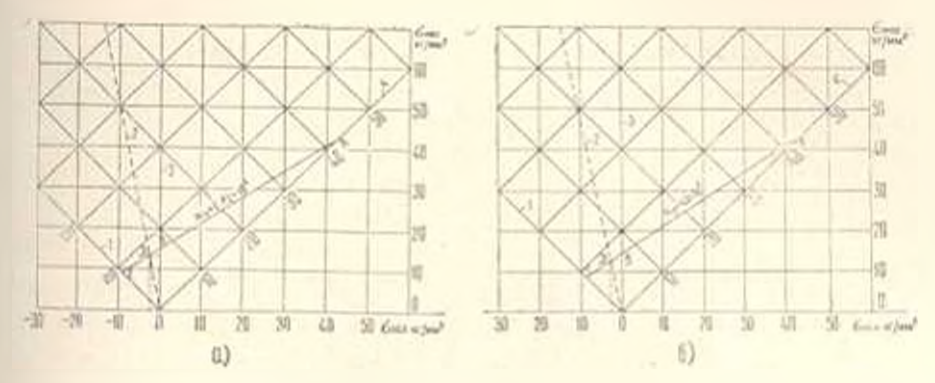
n'n	Пеперечное сече- ние образца в мм ³	минимальная на- грузка я т	Максимальная пигрузка в м	Число циклоя
1	452	_1	- 6.0	1.4 ×10 ⁴
2	490	-0.8	+6.2	2.3 ×10 ⁴
3	482	- 1	4-6.0	2.6 3104
4	482	-1	10.0	10×10°
5	482	1	+6.0	3.56×10⁰
á	482	-1	-6.0	1.6 % 10#
7	480	-1	÷6.0	6.3 ×10°
8	452	-1	6.0	5.0 ×10 ^a
9	486	0.9	- 6.2	1.4 ×10*
10	480	-1	+6.0	5.2 ×10°
11	480	1	÷ 6.0	5.1 104
12	480	-1	- -6.0	2.0 - 104

ных габл. 1 и 2 использованы для построения днаграмм предельных напряжений или днаграмм Гудмана [5] (фиг. 2). Чтобы получить простые формулы для расчета конструкций, днаграмму предельных напряжений представляем в видоизмененной форме, где одна кривая дает полное представление о сопротивлении усталости соединения при данном числе циклов до разрушения при изменяющейся в широких пределах форме цикла (фиг. 3).



Число циклов для 1-образного шва в среднем равно $2.82 \times 10^{\circ}$, для 1-образного шва с подваркой $4.3 \times 10^{\circ}$. Анализ усталостных испытаний, произведенных при максимальном напряжении, равном $12.5 \ \kappa z$, мм⁻, и минимальном напряжении, равном $2.1 \ \kappa z$ /мм⁻, для марки «Сталь-20», пока-

амвает, что в этих условиях долговечность V-образного шва сивжается в 1.5 раза по сравнению с V-образным швом с подваркой. Такое поведение соединения может быть обусловлено тем, что изменение угла в верхнен части соединяемых материалов влечет за собой изменение угла в имжней



Фиг. 3. Диаграмма предельных маприжений для понеречных стыновых соединений с 12-образной разделкой кромов.

Сталь 20; $R = \frac{3}{6}$; 1 симметричный цика; 2 венчие гричный цика $R = \frac{1}{6}$ сматие, растимение; 3— пульсирующий цика растимении; 4— статическое нагружение.

части, что является причиной концентрации напряжения. С применением расправного шва с подваркой углы в верхией и инжней частях становятся расправными, что снимает концентрацию напряжении в указанных вонах.

университет

— университет

Floorymusa 17 I 1979

i. u. uhpsgaub

ԿԱՐԻ ՉԵՎԻ ԵՎ ԾԱՅՐԵՐԻ ՄԻԱՑՄԱՆ ԵՌԱԿՑՄԱՆ ԴԵՆՈՐՄԱՏԻՎ ԱՆՀԱՄԱՍԵՌՈՒԹՅԱՆ ԱԶԳԵՑՈՒԹՅԱՆ ՈՒՍՈՒՄՆԱՍԵՐՈՒԹՅՈՒՆԸ

Ամփոփում

և և ռաչվածային անկլան տեսական նշանակությ և հռակրվա կարվածրի յա հայտն կարի դեֆորժատիվ տարասեռությ Որոչվել է տարասես ժարժ երի սա մանային կարի անկլան ժեծությունը տեսականորեն, երբ սա անալ զոտում առաչանում են լարումները Փործերի միջոցով, ձզմած և սեզմման միամամանակյա ասիմետրիկ ցիկլի դեպում ստացվել ես տվյալներ, որոնը Դնարավորություն են տալիս կառուցե դրաֆիկներ, հրակզման ենքակա միացություններում երկարակե ցությունը որոշելու համար

THE STUDY ON EFFECT OF THE LAY-OUT FORM AND DEFORMATIVE HETEROGENITY OF WELDING JOINTS ON MECHANICAL DURABILITY

L. S. MKRTCHIAN

Summary

The problem of determining the limiting angle and the mechanical durability limit for welding jounts, depending on the lay-out form and deformative heterogenity of joint's zone, is discussed. The theoretical value of limiting angle is determined for heterogeneous materials, when in the joint's zone the stress concentration is minimal.

In experiments dealing with asymmetric cycle of compression — tension some data are obtained, allowing to construct diagrams to evaluate mechanical durability of welding joints.

AHTEPATYPA

- Rabbe P. Bustenutro F., Pomey G. Soudage et Fechiques connexes. 1968, vol. 22, No. 5/6.
- 2. Большаков К. П. Синжение папряжении в узлах сваримх пролетимх строении С. «Исследования прочности и долговечности сваримх мостопых конструкций». Тр. ЦННС, вып. 20. М., Трансжелдориздат, 1956.
- Чобсиян К. С. Анторское свидстельство № 307869. Бюллетень Открытия и изо бретения», 1971, № 21.
- 4. Миртчян Л. С. Зависимость домоненности сварных соединении от геометрии сты кон Промышленность Армении, 1978, № 3.
- Мюняе В. Х. Усталостная прочность сварных стильных конструкций. М., Изд. «Машиностроение», 1968.